

ТРАВЛЕНИЕ ГЕРМАНИЯ ФТОРСОДЕРЖАЩИМИ РАДИКАЛАМИ ИЗ ГАЗОРАЗРЯДНОЙ ПЛАЗМЫ

© 2005 А.Ю. Дикарев, Ю.И. Дикарев, И.С. Суровцев¹,
С.М. Цветков, В.М. Рубинштейн

Воронежский государственный университет

¹Воронежский государственный архитектурно-строительный университет

Поступила в редакцию 11.10.04

Изучено влияние основных физических, химических и технологических факторов на скорость травления Ge фторсодержащими радикалами, образованными в газоразрядной плазме SF₆, CF₄ и их смесей с O₂, N₂, Ar и воздухом. Получены новые кинетические зависимости. Установлено, что величина подводимой к разряду мощности, давление и состав газовых смесей оказывает наиболее существенное влияние на скорости травления. Предложена физико-химическая модель, объясняющая влияние примесей азота и аргона на скорости травления Ge.

ВВЕДЕНИЕ

Плазмохимические процессы и технологии наиболее бурно развивались в 80-е годы прошлого столетия. В это время Si окончательно вытеснил Ge из производства планарных полупроводниковых приборов. Поэтому в научно-технической литературе практически отсутствуют сведения о травлении этого материала в газоразрядной плазме фторсодержащих газов. Но в последние годы все чаще появляются сообщения о применении Ge и его сплавов при изготовлении элементов микро- и наноэлектроники и микросистемной техники. Например, применение сплава Si-Ge при создании гетероструктурных полевых и биполярных транзисторов позволило достичь граничных частот f_T > 100 ГГц [1].

Выбор метода травления также не случаен. Травление галогенсодержащими радикалами, образованными в газоразрядной плазме, и называемое радикальным травлением (РТ) характеризуется низким уровнем радиационного и теплового воздействия на обрабатываемые изделия. Этот факт является особенно важным при переходе к субмикронной и нанометровой технологиям. Все это стимулировало проведение исследований, результаты которых приведены ниже.

Целью настоящей работы явилось исследование кинетики травления германия фторсодержащими радикалами, образованными в газоразрядной плазме, с разработкой физико-химической модели процесса.

МЕТОДИКА ЭКСПЕРИМЕНТА

Для проведения экспериментов использовалась установка РТ с реакционно-разрядной камерой (РРК) горизонтального типа, устройство которой приведено в работе [2]. Камера изготавливается из кварцевого цилиндра с внутренним диаметром 90 мм и длиной 500 мм. С одного конца приваривалась кварцевая полусфера, с другого – вставлялся алюминиевый блок реакционной камеры. Плазма в разрядной зоне возбуждалась с помощью индуктора, соединенного через согласующее устройство с ВЧ генератором. Частота ВЧ генератора составляла 13,56 МГц, мощность в разряде (W) регулировалась до 500 Вт. Обрабатываемые пластины размещались в реакционной зоне, экранированной от воздействия заряженных частиц и УФ излучения газоразрядной плазмы. В необходимых случаях был предусмотрен нагрев образцов. Разделение реакционной и разрядной зон осуществлялось с помощью тонкого (0,2 мм) алюминиевого перфорированного диска с отверстиями Ø 0,5 мм. Суммарная площадь отверстий составляла

ТРАВЛЕНИЕ ГЕРМАНИЯ ФТОРСОДЕРЖАЩИМИ РАДИКАЛАМИ ИЗ ГАЗОРАЗРЯДНОЙ ПЛАЗМЫ

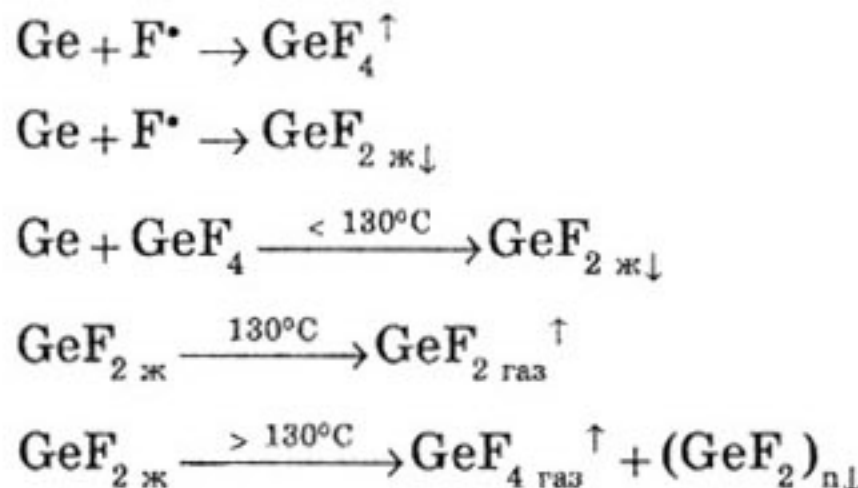
около 30% от общей площади диска-отсечки. Процессы РТ проводились в диапазоне давлений (10-60) Па. Рабочими газами служили SF_6 , CF_4 и их смеси с O_2 , N_2 , Ar и воздухом.

В качестве объектов исследований использовались образцы полированных и шлифованных пластин Ge марки ГЭС-9,0 (111) и Si КЭФ-7,5 (111). Скорость травления (V_{tr}) образцов малой площади (до 50 mm^2) определяли с помощью микрометрической головки с ценой деления 1 мкм при стравливании слоя толщиной 100 ± 150 мкм, а большей площади – их взвешиванием до и после обработки на аналитических весах ВЛАО с точностью $\pm 5 \cdot 10^{-5}$ г.

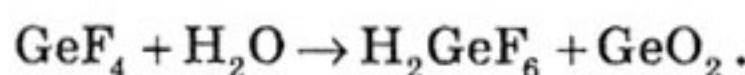
РЕЗУЛЬТАТЫ И ИХ ОБСУЖДЕНИЕ

Одной из особенностей РТ Ge явилось появление на кварцевом столе вокруг обрабатываемого образца осадка, который после разгерметизации РРК и извлечения из нее образца вместе с кварцевым столом оказался прозрачной жидкостью, дымящей на воздухе с резким запахом, действующим на органы дыхания и зрения. На воздухе эта жидкость быстро превращалась в белый осадок, имеющий хорошую адгезию к кварцу. Рентгенофазный анализ осадка показал, что основным его компонентом является GeO_2 .

При травлении Ge радикалами фтора на обрабатываемой поверхности германия и вблизи нее возможно протекание следующих процессов [3]:



При разгерметизации и взаимодействии с парами воды возможно образование гексафторгерманиевой кислоты и GeO_2 :



Изучено влияние различных факторов на скорость травления Ge. Получены результаты качественно подобные аналогичным зависимостям для РТ кремния.

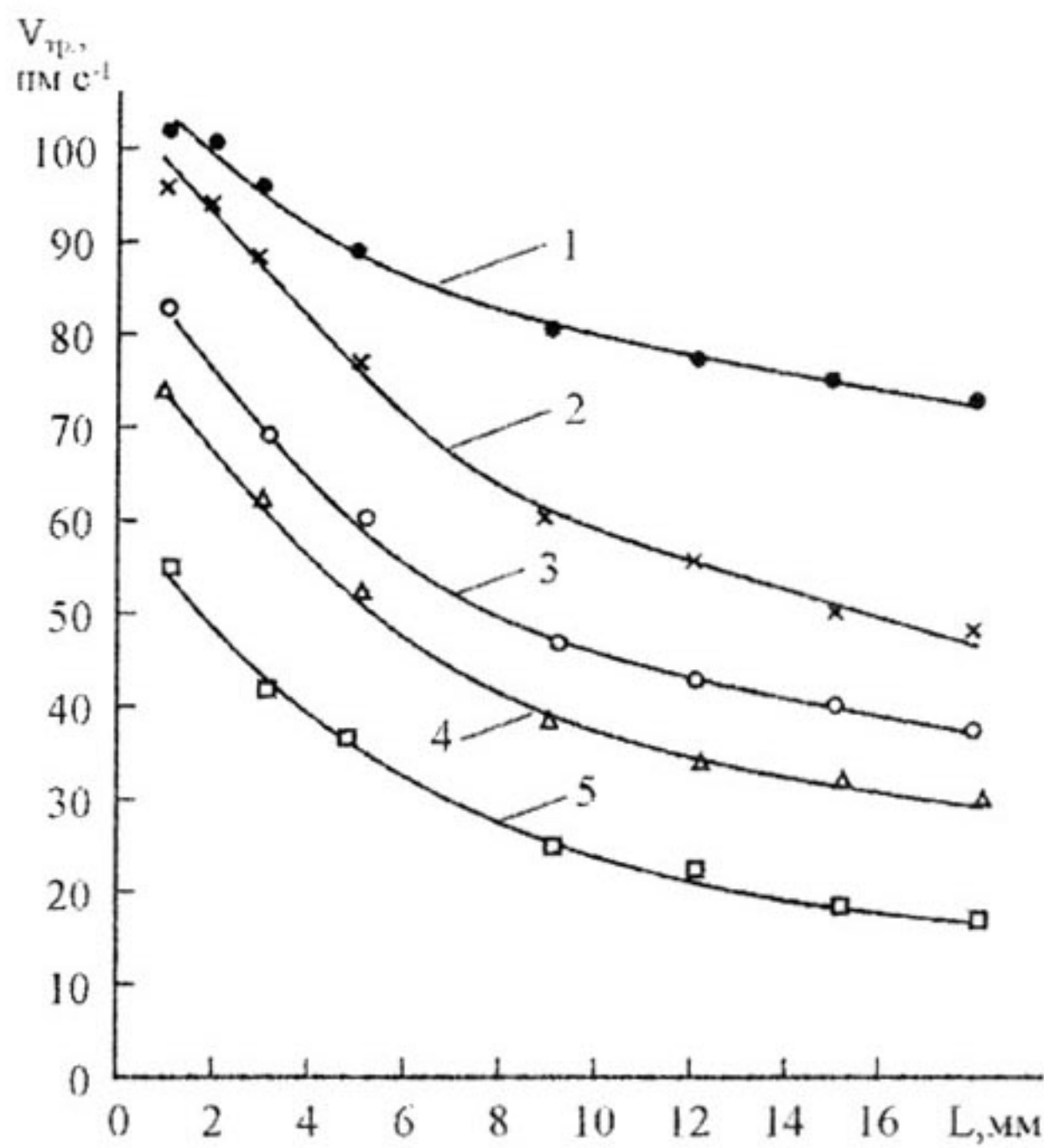


Рис.1. Зависимость скорости травления Ge от расстояния до места генерации ХАЧ. Р = 30 Па; W = 110 Вт; S = 0,0625 см²; t = 180 с. Газ: 50% CF_4 + 50% O_2 (1); 50% CF_4 + 50% возд. (2); 50% CF_4 + 25% O_2 + 25% N_2 (3); 50% CF_4 + 50% N_2 (4); 100% CF_4 (5)

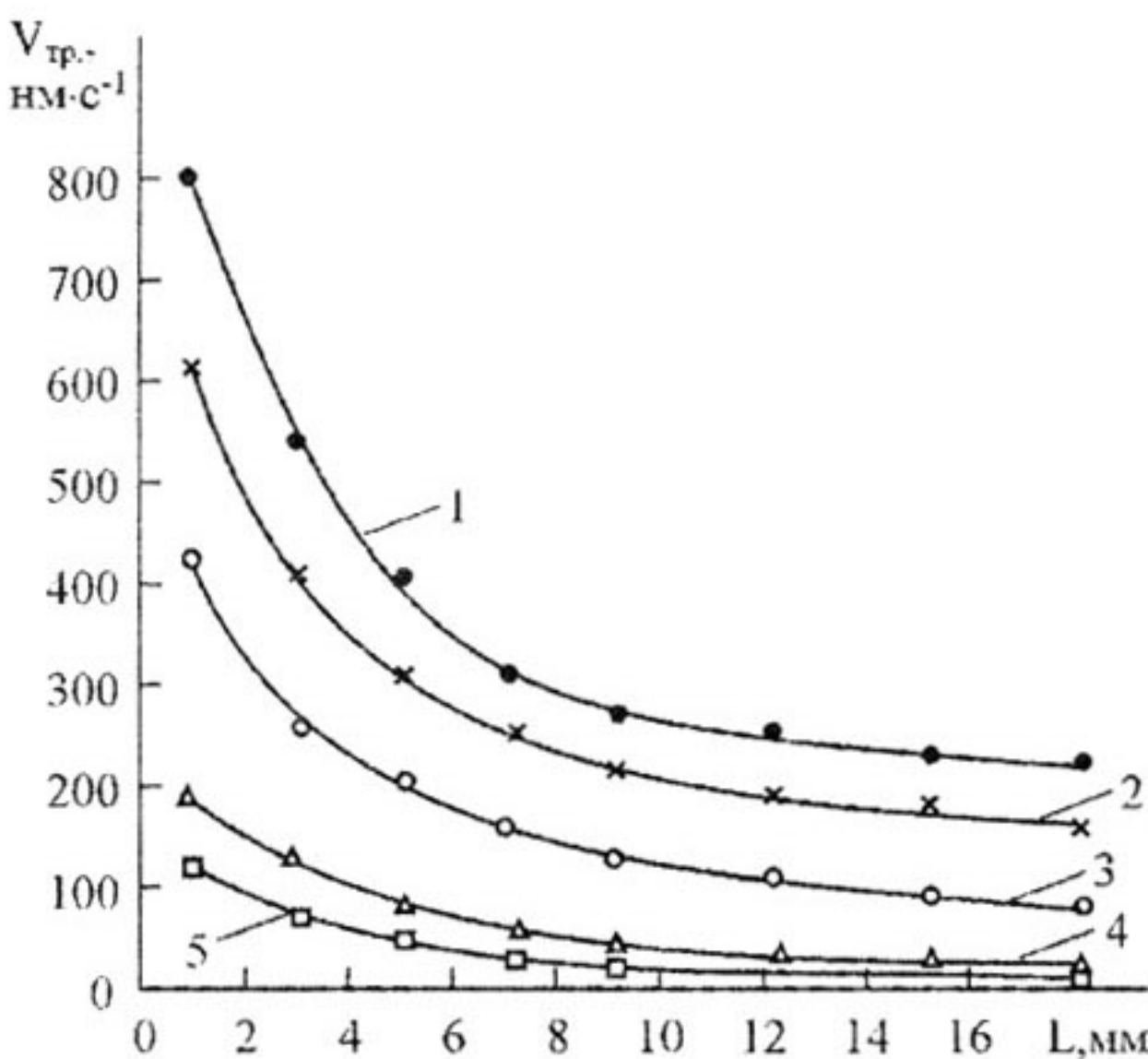


Рис.2. Зависимость скорости травления Ge от расстояния до места генерации ХАЧ. Р = 30 Па; W = 130 Вт; S = 0,0625 см²; t = 120 с. Газ: 50% SF_6 + 50% O_2 (1); 50% SF_6 + 25% O_2 + 25% N_2 (2); 50% SF_6 + 50% возд. (3); 50% SF_6 + 50% N_2 (4); 100% SF_6 (5)

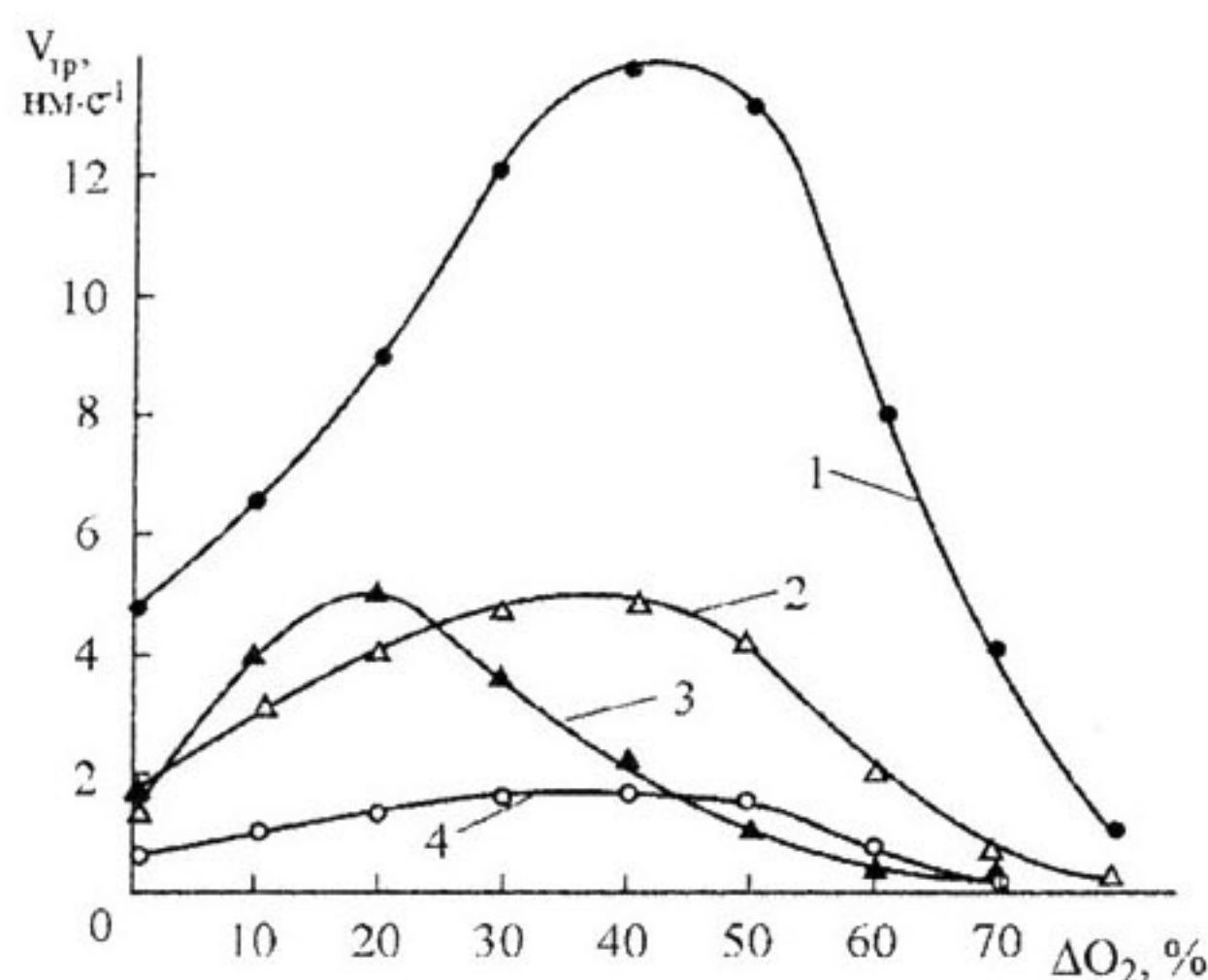


Рис.3. Влияние содержания O_2 в смеси $SF_6 + O_2$ (1, 2, 3) и $CF_4 + O_2$ (4) на скорости травления Ge (1, 2, 4) и Si (3). $P = 100$ Па (1-4); $W = 180$ Вт (1, 3, 4); 120 Вт (2), $S = 8$ см^2 .

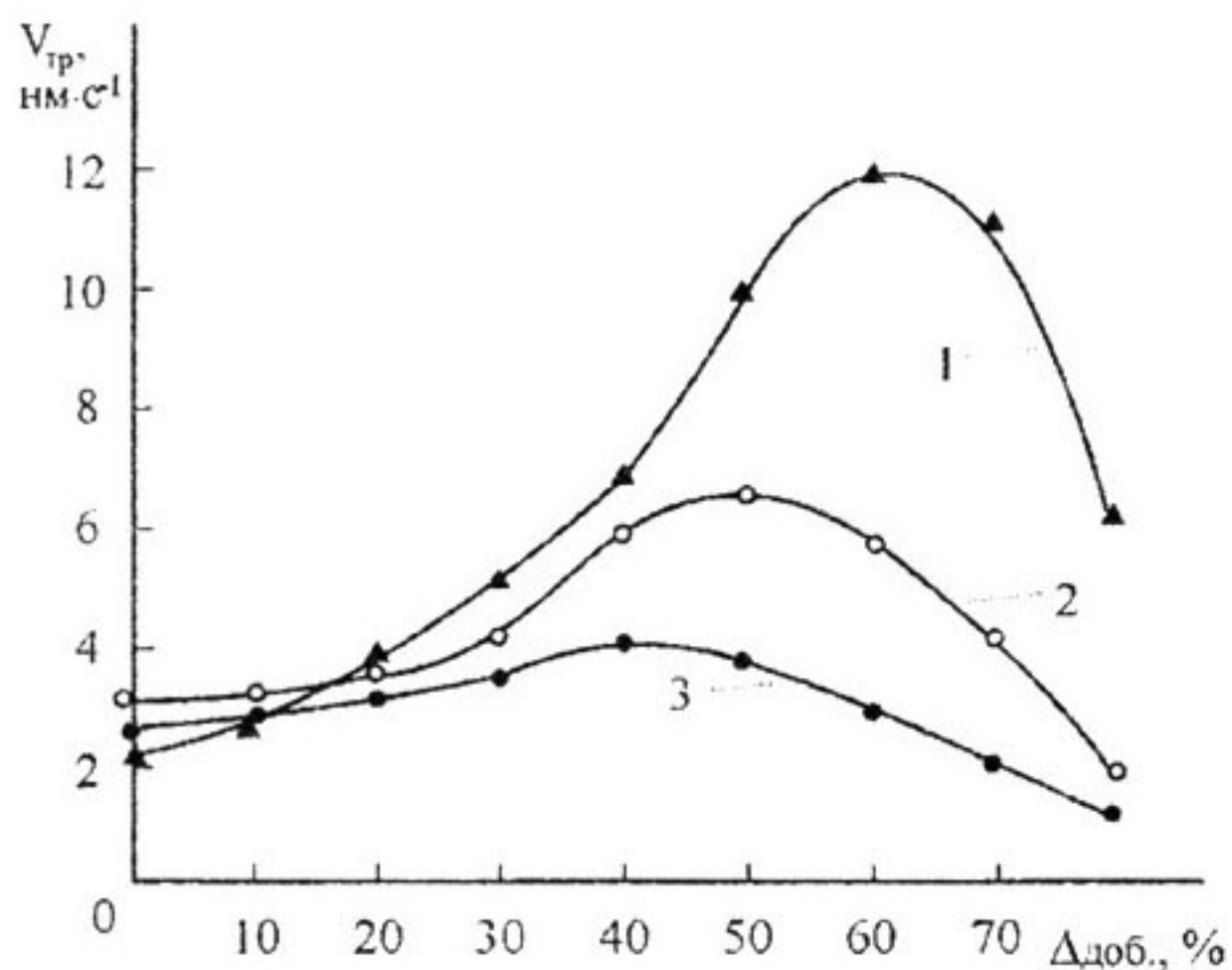


Рис.4. Влияние содержания воздуха (1), Ar (2) и N_2 (3) в смеси с SF_6 на скорости травления Ge. $P = 100$ Па; $W = 180$ Вт; $S = 8$ см^2 .

Влияние состава химически активных частиц (ХАЧ) на скорости травления Ge и их изменение по длине РРК показано на рис.1 и 2. Этот фактор, пожалуй, является наиболее определяющим скорости и другие характеристики РТ (селективность, равномерность, анизотропия). Так, из приведенных зависимостей видно, что скорости травления Ge вблизи диска-отсечки при использовании SF_6 в качестве рабочего газа примерно в два-три раза выше, чем

для CF_4 . Такая разница ожидалась, мало того, при травлении в других режимах она могла достигать десяти и более раз.

Для плазмохимических методов травления нередко применяют многокомпонентные смеси, состоящие из основной компоненты с одной или двумя добавками, которые вводятся для улучшения характеристик производительности и качества травления. На рис.1 и 2 показано влияние добавок O_2 , N_2 , Ar и воздуха к SF_6 и CF_4 на скорости травления Ge и их равномерность по длине камеры.

Из анализа приведенных зависимостей можно сделать важный вывод о том, что для получения высоких скоростей травления Ge целесообразно применять смеси на основе SF_6 и располагать пластины вблизи диска отсечки перпендикулярно потоку газа.

Представляло интерес более подробное изучение возможности повышения эффективности РТ Ge с помощью указанных добавок (рис. 3 и 4). Видно, что все зависимости скоростей травления Ge от содержания этих добавок имеют вид кривых с максимумом. Причем наибольшее влияние оказывает добавление O_2 в SF_6 .

Максимальные скорости травления Ge получены при содержании (40-50)% O_2 в этой смеси и были в 3-6 раз выше, чем в чистом SF_6 . Добавление O_2 к CF_4 оказывало качественно такое же влияние, но в меньшей степени. При травлении Si в этих же режимах максимум достигался при содержании (20-30)% O_2 и его сдвиг в меньшую сторону объяснялся образованием на поверхности Si более плотного оксида.

Заметное увеличение скоростей травления Ge (1,5-2 раза) получено при добавлении к SF_6 (30-50)% N_2 и в (2-2,5) раза при добавлении (40-60)% Ar (рис. 4). Это увеличение можно объяснить появлением дополнительного канала генерации ХАЧ, связанного с влиянием метастабильных частиц, образующихся в разрядной зоне и проникающих в реакционную.

Метастабильные частицы характеризуются значительным временем жизни, которое может достигать в некоторых случаях секунд, тогда как обычные возбужден-

ТРАВЛЕНИЕ ГЕРМАНИЯ ФТОРСОДЕРЖАЩИМИ РАДИКАЛАМИ ИЗ ГАЗОРАЗРЯДНОЙ ПЛАЗМЫ

ные атомы и молекулы через $10^{-9} - 10^{-7}$ с самопроизвольно переходят в нижнее энергетическое состояние, сопровождающееся излучением кванта [4].

Такие переходы для метастабильных состояний запрещены и частицы в этих случаях могут жить долго, до тех пор пока неdezактивируются при соударениях с другими частицами. Такую дезактивацию называют «тушением» метастабильных частиц. Дезактивация может закончиться передачей избытка энергии другому атому или молекуле, а также переходом из метастабильного в более высокое состояние и даже ионизацией. Если энергия возбуждения метастабильных частиц выше энергии диссоциации сталкивающихся с ними молекул, то в результате тушиения возможна диссоциация последних. В таблице 1 приведены энергии возбуждения нижних метастабильных уровней O_2 , N_2 и Ar и времена жизни таких соединений [5].

Таблица 1
Энергии нижних метастабильных уровней и времена жизни метастабильных частиц [5]

Атом, молекула	Энергия возбуждения		Время жизни, с
	эВ	кДж/моль	
$Ar(4^3P_2^0)$	11.55	1114.54	>1.3
$Ar(4^3P_2^0)$	11.72	1130.94	>1.3
$N_2(A^3\Sigma_u^+)$	6.2	598.18	1.3-2.6
$N_2(a^1\Sigma_u^-)$	8.4	810.57	0.5
$O_2(^1\Delta_g)$	0.98	94.57	2.7×10^3
$O_2(b^1\Sigma_g^+)$	1.64	158.26	12

Из анализа данных по энергиям возбуждения метастабильных уровней N_2 и Ar , приведенных в таблице 1, видно, что эти энергии выше энергии диссоциации фторсодержащих молекул и их фрагментов, образующихся в РРК [6] (табл. 2).

В связи с этим, разумно предположить, что кроме тушиения метастабильных частиц и увеличения скорости генерации ХАЧ в разрядной зоне, возможна диссоциация молекул по этому механизму и в реакционной зоне. Частицы, находящиеся в метастабильном состоянии, свободно проникают в реакционную зону и при столкновении с ма-

Таблица 2
Энергии реакций диссоциации ($T = 293$ К) [6]

Реакция диссоциации	Энергия диссоциации, кДж/моль
$SF_6 \rightarrow SF_5 + F$	324,3
$SF_5 \rightarrow SF_4 + F$	272
$CF_4 \rightarrow CF_3 + F$	460,2
$CF_3 \rightarrow CF_2 + F$	485,3
$COF_2 \rightarrow COF + F$	585,8
$COF \rightarrow CO + F$	94,1
$SOF_2 \rightarrow SOF + F$	656,9
$FO \rightarrow O + F$	219,7
$F_2 \rightarrow F + F$	$154,8 \pm 2$
$F_2O \rightarrow FO + F$	$160,2 \pm 20$

лоактивными молекулами и их фрагментами передают им энергию, достаточную для начала диссоциации. За счет этого и происходит повышение концентрации ХАЧ в реакционном пространстве и, соответственно, увеличение скорости РТ Ge и Si.

Интересные результаты получены и при травлении Ge в газоразрядной плазме SF_6 + воздух. Из приведенной на рис. 4 зависимости, показывающей влияние содержания воздуха, видно, что максимум скоростей травления получен при его добавлении (50-70)%. Такое влияние, видимо, связано с совместным действием O_2 и N_2 на скорость генерации ХАЧ.

Для РТ Ge, как и для других методов плазмохимической обработки, характерно проявление эффекта «загрузки». Это отчетливо видно при сравнении V_{tr} Ge, приведенных на рис. 1, 2 и 3, 4. При получении этих зависимостей обрабатываемые площади Ge отличались в 100 раз и более. На рис. 5 приведены данные, иллюстрирующие эффект загрузки при РТ Ge и Si.

Видно, что полученные зависимости имеют вид, характерный для эффекта загрузки. Можно лишь очередной раз отметить, что при использовании SF_6 скорости травления Ge в несколько раз выше, чем скорости травления Si. Полученные данные следует учитывать при оптимизации процессов травления Ge и Si фторсодержащими радикалами.

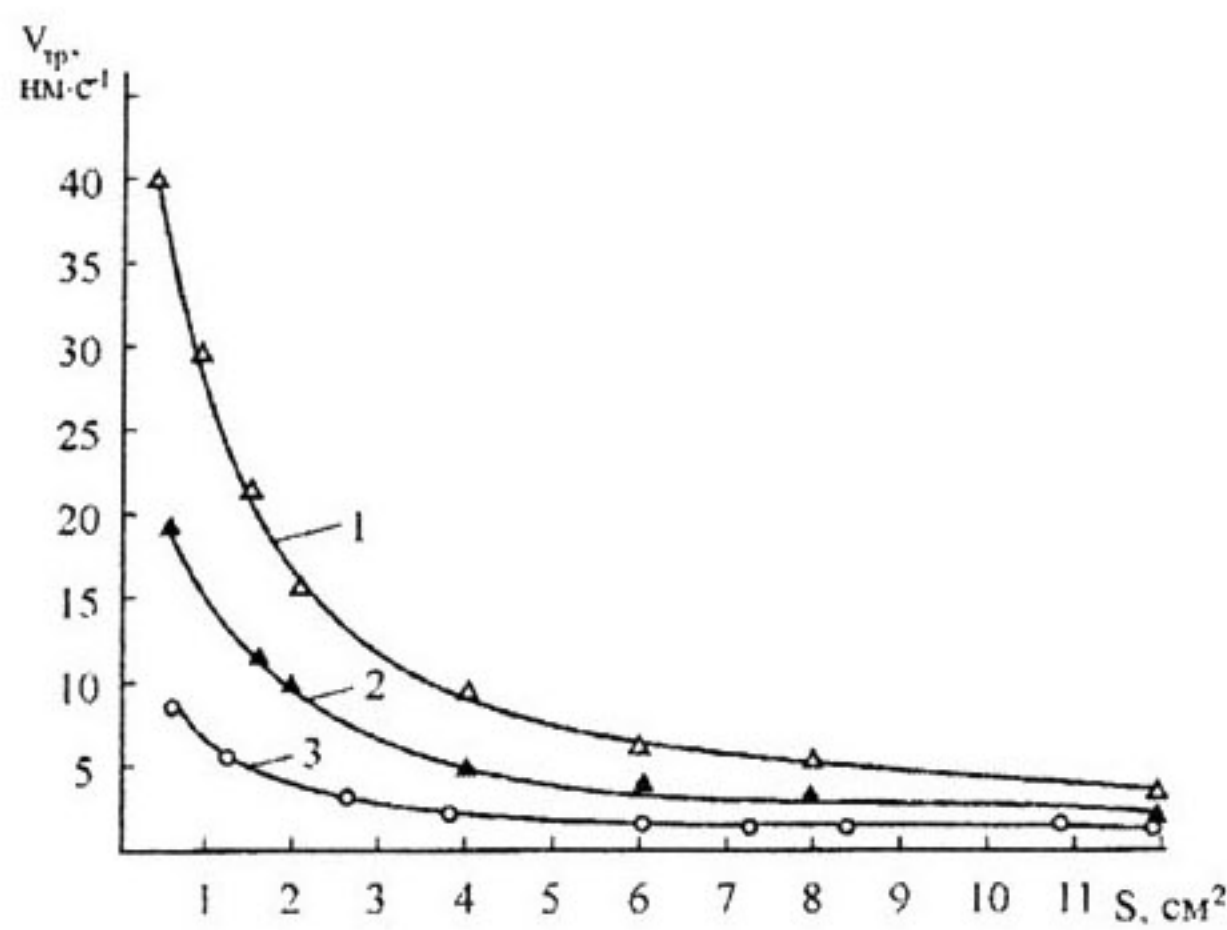


Рис.5. Зависимость скорости травления Ge (1, 2) и Si (3) от обрабатываемой площади: $W = 150$ Вт; газ — SF_6 , $P = 60$ Па (1, 3); 110 Па (2).

Исследованы особенности РТ полированых и шлифованных монокристаллических пластин Ge и Si. Известно, что для травления шлифованной поверхности в жидким химических реактивах характерны более высокие скорости, которые замедляются по мере удаления нарушенного слоя и заполирования рельефа. Это связано с наличием на шлифованной поверхности механических напряжений, разориентированных отдельных участков монокристалла, повышенной эффективной площади. При обра-

ботке фторсодержащими радикалами при РТ было замечено лишь незначительное отличие в скоростях травления шлифованных и полированных пластин. При травлении шлифованных пластин Ge и Si разной ориентации происходило ограждение первоначального рельефа и появление на обработанных поверхностях характерных для данной ориентации фигур травления. При РТ полированной поверхности отмечено некоторое ухудшение ее рельефа, но тем не менее поверхность оставалась полированной.

СПИСОК ЛИТЕРАТУРЫ

1. Майская В. // Электроника: Наука, Технология, Бизнес. 2001. № 1. С. 28-32.
2. Дикарев Ю.И., Цветков С.М., Суровцев И.С. // Известия вузов. Сер. «Электроника». 1997. № 2. С. 39-43.
3. Тананаев И.В., Шпирт М.Я. Химия германия. М.: Химия. 1967. 452 с.
4. Френсис Г. Ионизационные явления в газах. М.: Атомиздат. 1964. 303 с.
5. Райзер Ю.П. Физика газового разряда. М.: Наука. Гл.ред.физ.-мат.лит. 1987. 592 с.
6. Энергии разрыва химических связей. Потенциалы ионизации и средство к электрону. Справочник (Под ред. В.Н. Кондратьева). М.: Наука. 1974. 351 с.